

НЕЙТРОНОГРАФИЧЕСКОЕ ИССЛЕДОВАНИЕ ФАЗОВЫХ ПРЕВРАЩЕНИЙ МЕТАСТАБИЛЬНОГО ЛЬДА ВЫСОКОГО ДАВЛЕНИЯ VIII

*А.М.Балагуров , О.И.Баркалов, А.И.Колесников, Г.М.Миронова ,
Е.Г.Понятовский, В.В.Синицын, В.К.Федотов*

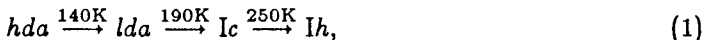
Институт физики твердого тела АН СССР

Поступила в редакцию 30 октября 1990 г.

После переработки 29 ноября 1990 г.

Дифракцией нейтронов в реальном масштабе времени исследованы превращения закаленной фазы льда высокого давления при его нагреве от 94 до 290 К. Установлена следующая последовательность переходов: лед VIII, аморфные фазы с высокой и низкой плотностями, кубический и гексагональный лед. Образование аморфного льда высокой плотности из фазы VIII обнаружено впервые.

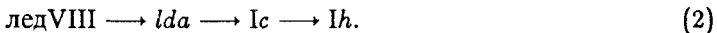
В работах ^{1,2} было показано, что, помимо кристаллических модификаций, во льде реализуются две аморфные фазы: с низкой и высокой плотностями, которые в дальнейшем будем обозначать *lda* и *hda* (от англ."high and low density amorphous phases"), соответственно. Для получения льда *hda* гексагональный лед *Ih* охлаждали до температуры жидкого азота и затем сжимали до давления ~ 1 ГПа. После снятия давления во льде наблюдалась следующая последовательность превращений при нагреве ³:



где *Ic* - кубическая фаза льда.

Если лед *hda* подвергнуть дальнейшему сжатию, то он при давлении ~ 4 ГПа переходит в VII или VIII фазы ⁴ в зависимости от температуры, при которой происходит сжатие.

Недавно была найдена другая возможность получения аморфного льда, а именно, из закаленной фазы высокого давления VIII ⁵. При нагреве наблюдались переходы:



Авторы работы ⁵ предположили, что аморфный лед низкой плотности образуется из аморфного льда высокой плотности, однако обнаружить *hda* экспериментально им не удалось. Предполагается, согласно калориметрическим исследованиям ⁶, что лед *hda* должен существовать, по-видимому, в области температур 127 - 136 К.

В данной работе методом нейtronографии в реальном масштабе времени ⁷ проведены исследования превращений метастабильного льда высокого давления при его нагреве с целью обнаружения перехода лед VIII \rightarrow *hda*.

Образец (99% D₂O) весом 0,3 г при комнатной температуре сдавливали в камере типа "профицированная наковальня - чечевица" ⁸ до давления $2,6 \pm 0,3$ ГПа и выдерживали при этих условиях 1 час для установления равновесия. После этого камеру охлаждали жидким азотом до ~ 100 К и при этой температуре давление снижали до атмосферного. Все последующие процедуры с образцом до начала измерений проводили при температуре жидкого азота.

Эксперимент по дифракции нейтронов был проведен на дифрактометре по времени пролета ДН-2 на реакторе ИБР-2 (г. Дубна) ⁹. Регистрация нейтронов

проводилась детекторами, установленными на углах $2\theta \approx 90^\circ$ и 150° . Образец в тефлоновой ампуле помещали в гелиевый криостат с алюминиевыми окнами. Скорость нагрева образца составляла ~ 1 град/мин, диапазон температур 94 - 290 К, время экспозиции одной нейтронограммы 5 минут.

На рис. 1 приведена последовательность дифракционных спектров, измеренных в процессе нагрева закаленной фазы льда высокого давления. Отдельные характерные нейтронограммы дополнительно показаны на рис.2. Из данных эксперимента следует, что исходная фаза лед VIII сохранялась до температуры 130 К. В интервале 130 - 135 К в течение 5 минут дифракционная картина резко изменилась: узкие пики, соответствующие кристаллической фазе льда, исчезли, и появились два широких пика с максимумами при $d_1 \approx 3,65\text{\AA}$ и $d_2 \approx 3,00\text{\AA}$. Положение этих пиков соответствует переданным импульсам $Q_1 = 1,72\text{\AA}^{-1}$ и $Q_2 = 2,09\text{\AA}^{-1}$. На рис.3 показаны две последовательные нейтронограммы, измеренные непосредственно перед переходом (лед VIII) и сразу после него. Пик с большим d

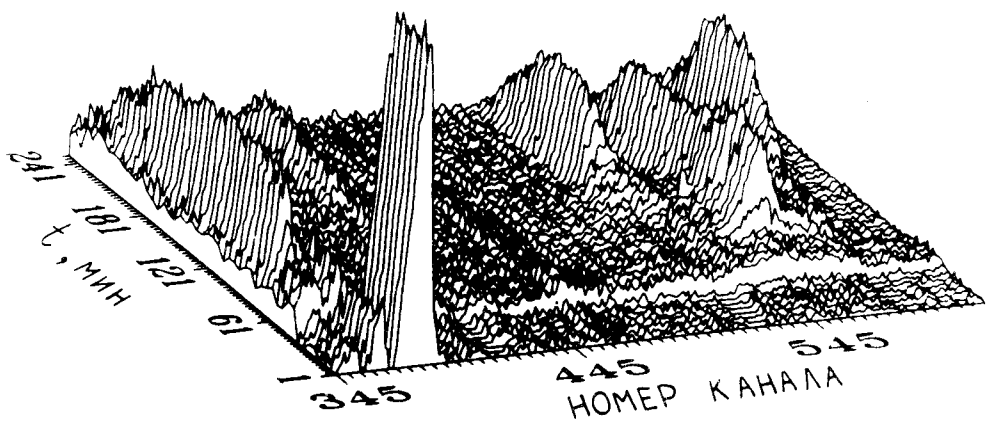


Рис. 1. Нейтронограммы льда в интервале температур 94 - 290 К. Нагрев происходил с $\Delta T/\Delta t \approx 1$ град/мин, $T = 94$ К соответствует началу отсчета времени

имеет особенность в области $Q = 1,63\text{\AA}^{-1}$. Указанные значения практически совпадают с величинами $Q = 1,63\text{\AA}^{-1}$ и $2,10^{-1}$, наблюдавшимися в ³ для аморфных фаз льда низкой и высокой плотности, а $Q = 1,71\text{\AA}^{-1}$ соответствует отражению (111) для кубической фазы льда Ic ¹⁶. Второй пик от обеих аморфных фаз расположен в области $Q = 3,05\text{\AA}^{-1}$, и его точное определение затруднено в связи с тем, что в этой же области находятся дифракционные пики от Al. Следует заметить, что дифракционная картина от hda имеет сложный характер, а именно, на фоне широкого пика, характерного для аморфных веществ, виден небольшой узкий пик, положение которого ($d \approx 3\text{\AA}$) не соответствует известным структурам льда. Следовательно, вторая нейтронограмма на рис.3 соответствует существующим hda, ida и мелкокристаллической кубической Ic фазам льда. Возможно также присутствие новой неизвестной кристаллической фазы льда со структурой, в которой координационные сферы соответствуют льду высокой плотности.

Смесь фаз сохраняется до $\sim 150 \div 160$ К, затем при $T = 160$ К происходит переход в кубическую фазу Ic. Факт существования аморфного льда двух плотностей с независимыми от температуры позициями для Q_1 и Q_2 в нашем

эксперименте говорит о том, что переход $hda \rightarrow lda$, если он имеет место, является переходом первого рода, а не просто релаксационным процессом. Таким образом, мы подтверждаем правильность предположения о характере перехода между разными модификациями аморфного льда, как о переходе первого рода, высказанное впервые E.Whalley в дискуссии по работе ¹¹.

При дальнейшем повышении температуры кубическая фаза Ic постепенно трансформируется в Ih. Интересно отметить факт более быстрого образования пика (100) Ih, по сравнению с (101) и (102) (рис.2). Аналогичный эффект наблюдался в работе ¹² при переходе льда Ic \rightarrow Ih в аморфной матрице электролита $LiCl \cdot 10D_2O$. Эти явления можно понять, если учесть, что переход ГЦК

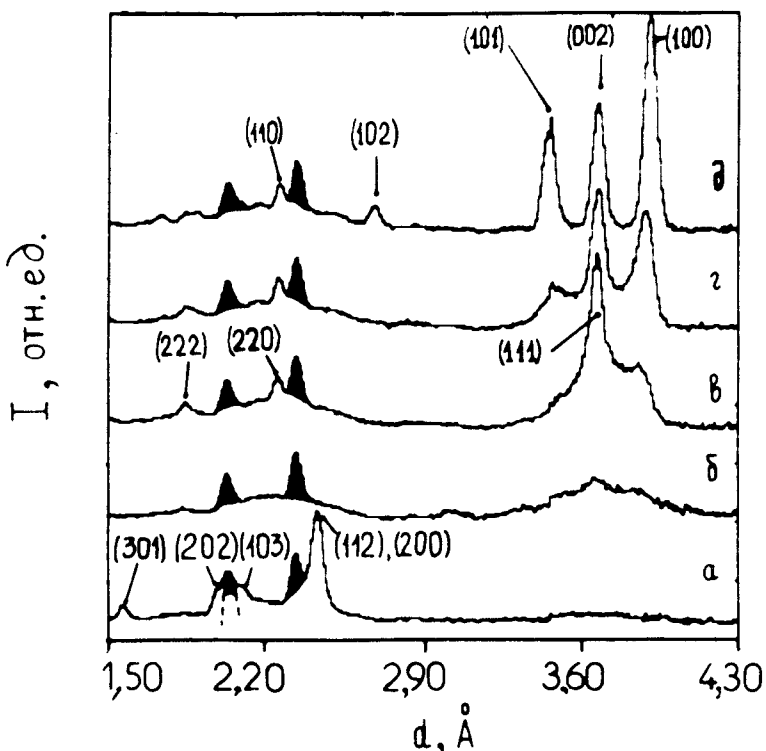


Рис. 2. Нейтронограммы различных фаз льда: *α* - лед высокого давления VIII ($T \approx 94 \div 130$ К); *β* - аморфные льды *hda* и *lda* ($T \approx 130 \div 150$ К); *γ* - кубический лед Ic ($T \approx 160$ К) с примесью промежуточной фазы (см. *ε*); *ε* - переходная область Ic \rightarrow Ih ("метастабильная гексагональная фаза", $T = 90$ К); *δ* - гексагональный лед Ih ($T \geq 230$ К). Выделены дифракционные пики от *Al* стенок криостата

\rightarrow ГПУ связан с изменением упорядочения плотноупакованных плоскостей (111) кубической фазы. Таким образом в интервале температур 170 - 210 К мы наблюдали существование метастабильной "гексагональной фазы" льда, в которой плоскости с гексагональной плотной упаковкой молекул D_2O расположены эквидистантно вдоль оси *c*, $d = d_{002}(Ih) = d_{111}(Ic)$. Упорядочение же между гексагональными плоскостями нарушено и изменяется непрерывно от упаковки типа ABCABC (*Ic*) к ABABAB (*Ih*). Окончательно лед Ih образуется при 235 К.

Следует отметить, что в ¹³ при исследовании тепловых эффектов во льде при переходах последовательности (1) перед началом превращения Ic \rightarrow Ih наблюдалось хорошо выраженное плечо на кривой тепловыделения, которое простиралось примерно от 190 до 220 К. Авторы ¹³ связывают происхождение этого плеча с началом роста Ih из Ic. В свете же полученных нами результатов это явление можно объяснить упорядочением между слоями плотной упаковки

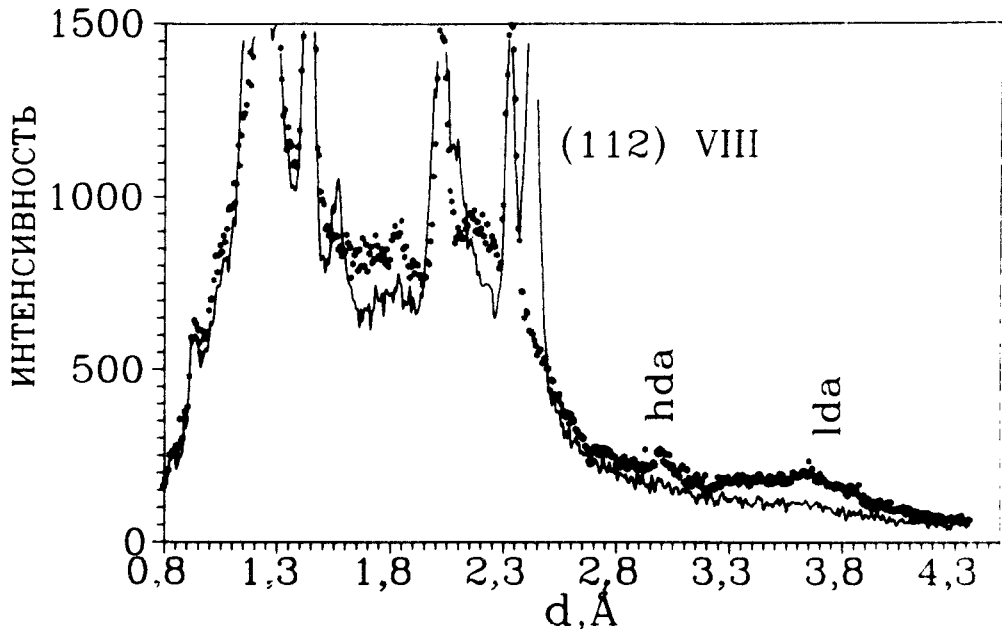


Рис. 3. Две последовательные нейтронограммы, измеренные при переходе льда VIII (непрерывная кривая) в аморфные фазы льда (точки). Сохранившиеся узкие пики соответствуют рефлексам от Al стенок криостата

"метастабильной гексагональной фазы".

Таким образом, проведенные эксперименты позволили впервые наблюдать переход льда VIII в аморфный лед *hda*, кроме того, обнаружены существование аморфных фаз двух плотностей *hda* и *lda* и сложный характер перехода $Ic \rightarrow Ih$.

Литература

1. Mishima O., Calvert L.D., Whalley E. Nature, 1984, 310, 393.
2. Mishima O., Calvert L.D., Whalley E. Nature, 1985, 314, 76.
3. Bosio L., Johari G.P., Teixeira J. Phys. Rev. Lett., 1986, 56, 460.
4. Hemley R.J., Chen L.C., Mao H.K. Nature, 1989, 338, 638.
5. Klug D.D., Handa Y.P., Tse J.S., Whalley E. J. Chem. Phys., 1989, 90, 2390.
6. Handa Y.P., Klug D.D., Whalley E. Can. J. Chem., 1988, 66, 919.
7. Балагуров А.М., Злокозов В.Б., Миронова Г.М. и др. Сообщение ОИЯИ, 1989, РЗ-89-601, Дубна.
8. Верещагин Л.Ф., Бакуль В.М., Семерчан А.И. и др. Патент США, 1973, N 3746484.
9. Балагуров А.М. и др. ОИЯИ, 1984, З-84-291, Дубна.
10. Kuhs W.F., Bliss D.V., Finney J.L. J. Physique, 1987, 48, C1-631.
11. Whalley E., Mishima O., Handa Y.P., Klug D.D. Annals of the New York Academy of Sciences, 1986, 484, 81.
12. Elarby-Aouizerat A., Jal J.-F., Dupuy J., Schildberg H., Chieuz P. J. Physique, 1987, 48, C1-465.
13. Handa Y.P., Mishima O., Whalley E. J. Chem. Phys., 1986, 84(5), 2766.